

乱流水槽における混合砂の浮遊機構

鳥取大学大学院○学生員 平井真砂郎

鳥取大学工学部 正員 道上正規

1. はじめに 本来、実河川は混合砂で構成されているため、砂粒の動きは非常に複雑なものになる。流域土砂の一つの輸送形態である浮遊砂も同様である。従来より、混合砂の浮遊砂量を算定するには、各粒径との浮遊土砂量と、それが河床中に含まれる割合との積を総和するという重ね合わせの方法がとられている。しかし、このような重ね合わせの方法が成立するかどうかは、いまだに検討の余地が残されている。そこで本研究では、一様な流れ場を作りだせる乱流水槽を用いて、特に混合砂の場合の濃度分布に着目し実験的考察を行った。

2. 実験装置 本研究に用いた乱流水槽は、直径、高さとも 50cm のアクリル樹脂性の円筒水槽である。その中に一边 0.5cm のアクリル樹脂性角棒を 3cm 間隔で格子状に接合したものを高さ方向に $1/3$ 枚とリつけ、これらの搅乱格子を同時に上下運動させるものである。本実験では振幅を 2cm に保ち、周期を $1/4\text{sec}$, $1/3\text{sec}$ として実験を行った。また、浮遊砂の採取は、内径 0.6cm のガラス管にビニールパイプをつないだサイフォン式の採水器を行った。粒度分析には、沈降天秤式粒度分析器を用いたが、これは沈降管の上部より投入した砂粒子の重量を 24cm 下方にある 2.1mg まで測れる電磁天秤によること測定し、粒径加積曲線を得ることのできるものである。

3. 実験結果 まず、本研究のような平均流の存在しない乱流水槽において、 $\frac{y}{h}$ 浮遊砂濃度が平衡状態にあるとすると、鉛直方向の濃度分布の基礎式は(1)式のように表される。

$$E_s (dc/dy) + w_0 C = 0 \quad (1)$$

ここに E_s は拡散係数、 w_0 は沈降速度、 C は平均濃度である。一様な流れ場における濃度分布の計算式は、 E_s を一定として(1)式を積分した(2)式が従来適用されている。

$$C/C_a = \exp \left[- (w_0 h / E_s) \cdot \left\{ (y-a) / h \right\} \right] \quad (2)$$

この式は、一様砂の場合、片対数紙上で直線性を示すものである。重ね合わせの方法とは、(2)式が混合砂を構成している各粒径について成立するとして、(3)式によって混合砂の濃度分布を求めるものである。この式において、 E_s は一定とされていく。

$$C/C_a = \sum_i C_{ai} / C_a \exp \left[- (w_{0i} h / E_s) \cdot \left\{ (y-a) / h \right\} \right] \quad (3)$$

本実験では、細砂 Sand A ($0.04 \sim 0.22\text{mm}$)に粗砂 Sand B ($0.30 \sim 0.42\text{mm}$)を 5% , 10% , 20% , 30% と混合比を変えた実験がなされた。搅乱周期 $T=1/4\text{sec}$ の場合の全濃度分布を示したもののが図-1である。この図より、混合比が増すにつれて、片対数紙上でわん曲しており、一つの代表粒径を用いて濃度分布は表せないことが理解できよう。わん曲している理由としては、鉛直方向において順次粒径の小さな分けが起こるためであり、特に底面附近において急激な小さな分け作用が起こる。図-2は、各粒径別の濃度分布を示したものである。細かい粒子では片対数紙上で比較的直線性が成立しているが、粗い粒子では直線性が成立しにくい。これは一般的に大きな粒子の濃度は小さく、測定精度に向問題があると同時に、拡散の式で表されにくうことである。このようにして得られた粒径別の濃度分布より、各粒径に対する拡散係数を求めてみると、粒径によること拡散係数が変化することが見出された。このこと

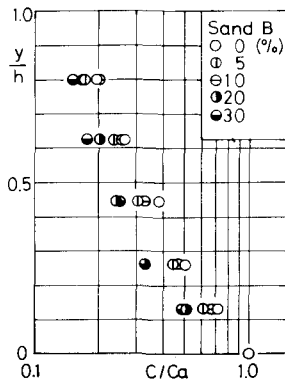


図-1 全濃度分布

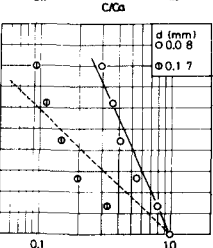
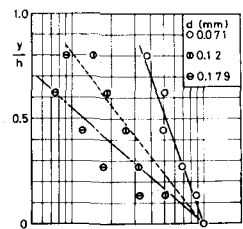


図-2 粒径別濃度分布

は基礎式において、 E_s を一定とした仮定と異なり、重ね合わせができないことを意味するものである。図-3は、各粒径別の拡散係数を用いて、濃度分布を計算した結果を示したものである。この図より、実測値と計算値とは比較的よく対応しており、各粒径に対する拡散係数を用いれば、濃度分布の重ね合わせを可能であると考えられる。

次に、粒径別の拡散係数を検討しよう。本実験について、次元解析を行った結果、運動量の輸送係数 E_{mo} と土砂拡散係数 E_s との比 β は次の関係式で表される。

$$E_s / E_{mo} = \beta = f_n(w_0 T / A, d / A) \quad (4)$$

ここで、 T は搅乱格子の振動周期、 A は振幅、 d は粒径、 w_0 は沈降速度である。このようなパラメーターで実験値を整理した結果が図-4に示されている。散点が大きいので β とパラメーターの間の関係式を求めるまでは至らないが、 β は d/A 、または $w_0 T / A$ の増加とともに増大することができる。このように β 値が粒径あるいは、沈降速度の増加とともに増大する原因としては、混合粒子の影響、実験装置の特性、乱れの特性、あるいはそれらの相乗作用が考えられる。また、運動量輸送係数 E_{mo} の値は Stokes の範囲にあり砂の拡散係数 E_{sf} から、Singamsetti の研究成果を用いて $E_{mo} = E_{sf} / 1.2$ として求めている。

図-5は、濃度分布に大きく影響を与える底面付近の濃度が底質土砂の混合比によってどのように変化するかを示したものである。これを見ると、底面付近の濃度は、粗砂である Sand B の混合割合 $f(\%)$ の増加によって一様に低減するのではなく、5%混入の場合に濃度は最大値を示している。実験中の観察によれば、Sand B は底面付近で跳躍運動をしており、そのため砂面への衝突効果が大きくなり、多量の砂が浮上して、ある混合比で極大値に達する。しかし、粗砂の割合が大きくなると、衝突効果よりも、遮蔽効果のほうが大きくなり、次第に濃度が低下する。このように同じ乱れ強度に対しても、粒度分布のちがいによって、浮上する砂の量が異なることを指摘したが、さらに詳細な実験を行って、実河川での混合砂の浮遊機構について考察する必要がある。

4. おわりに 本研究では、乱流水槽における浮遊砂の浮上機構の考察より、乱れ強度が同一の条件でも、拡散係数は粒径あるいは、沈降速度によって変化することがわかり、その各々の拡散係数を用いれば、濃度分布の重ね合わせは可能であることを指摘した。さらに、混合比によっても底面付近の濃度は複雑な変化を呈することも指摘した。今後は、このような現象を実際の水理量と関連づけるために、乱流水槽内の流体の動き、あるいは粒子の動きを測定しなければならないと思われる。今後、このような点に注目して、より精密な実験を行い、浮遊現象の不明な点を解明していきたいと思う。最後に、本研究費の一部は文部省科学研究補助金試験研究に貢うるものであり、ここに記して謝意を表す。

(参考文献)

- 1) 岩垣・土屋・矢野 京大防災研年報 第8号 1965. pp.353~362.
- 2) Singamsetti, S. R. Proc. A.S.C.E. Jour. H.Y. Div. March 1966 pp.153~168.

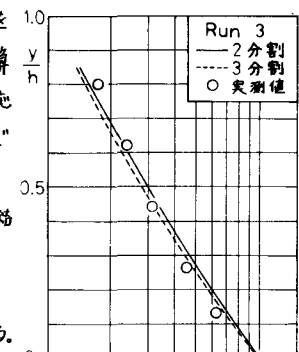


図-3 実測値と計算値の比較

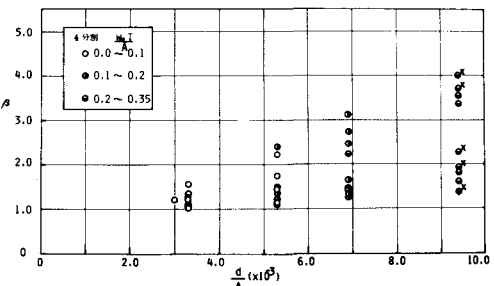


図-4 拡散係数の整理結果

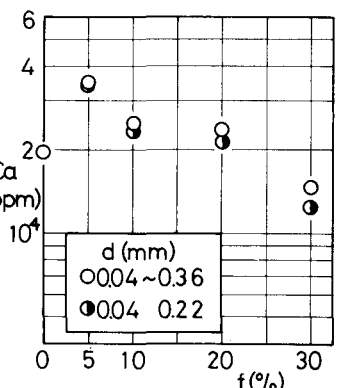


図-5 底面付近の濃度特性